

大林道路株式会社 正員 伊吹山四郎
 同上 正員 國分修一
 同上 藤林省吾

1. はしがき

鋼板強補強コンクリート(SFRC)は普通コンクリートに較べて力学的諸性質にすぐれ、耐荷能力に関しては供試体の初期クラック後でもなお大きな荷重を支持することが出来る。舗装の分野ではこれらのすぐれた力学的性質の利用を考え、特に既設舗装上のオーバーレイ材料として注目している。しかし、オーバーレイ厚さの設計法は路面の破壊判定基準のむずかしさと相まって、ほとんど合理的な方法が確立されていないのが現状である。本実験はSFRCオーバーレイの設計方法を確立するための第1段階として、静荷重下におけるSFRC版の耐荷能力に関して実施したもので、ここで提案する理論式と比較してその結果を報告する。

2. 薄層SFRC版の破壊の理論式

舗装の破壊は構造的なものと交通に対する供用性などの機能的なものとがあり、構造的な破壊は一義に機能的破壊に結びつかないのが一般的である。すなわち舗装表面の多少のクラックは車両の走行になんら支障がないからである。この場合、急激にクラックが増加して、舗装が崩壊状態に到るであろう時点が破壊判定の目安になると考えられる。従って本載荷実験でも、図-1に示すような正のモーメントによるクラックは許容し、負のモーメントによって版表面にクラックが生じた時点をSFRC版の破壊とした。このようなモーメントを生じさせる荷重層が版に加われば、版のいたるところでクラックを生じ版が致命的崩壊状態に到ることは明白だからである。

今、版要素のつり合いを考えると式(1)のようである。

$$\frac{d(YQ)}{dY} = -Yp, \quad \frac{d(YM_t)}{dY} = M_t + YQ \quad (1)$$

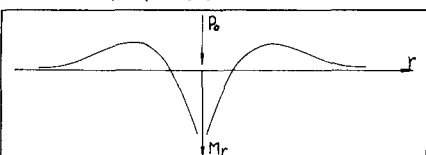


図-1 コンクリート版底面に生ずるモーメント

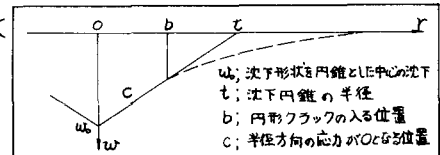


図-2 版の沈下変形

さらに版がWinkler基礎に支えられており沈下の勾配が線形であるとすると。

$$P = -t \cdot w' \quad , \quad w' = (1 - \frac{r}{t}) w_0 \quad (2)$$

となる。版の破壊の条件は $r = b$ で $M_t = M_0$ 、および $M_t = M_0$ (M_0 ; 版の抵抗モーメント) であるから半径方向の曲げモーメント M は式のようになる。

$$M_r = M_0 + \frac{t w_0 r^2}{b} - \frac{t w_0 r^3}{12 t} - \frac{t w_0 t^2}{b} - \frac{t w_0 t^2 c}{9 r} \quad (3)$$

また表面クラックは $r = b$ の位置に生ずるから、 $r = b$ で M_t は最大とならなければならず、この条件より3式を整理しなおすと4式のようになる。

$$w_0 = \frac{12 M_0}{t \cdot b^2 \left\{ 3 \left(\frac{b}{c} - 1 \right) - \frac{2b}{9} \left(\frac{9b}{8c} - 1 \right) \right\}} \quad (4)$$

3. 実験方法

2で述べた理論式では t , c , b , w_0 やび M_0 を知らないことはならず、さらに載荷重を推測するには沈下形状が実際には線形ではないため具体的な沈下形状を知らないことはならない。従って各々の値は載荷実験から得るものとした。舗装の荷重支持層は路床、路盤および表層である。本実験は実際の舗装版をシミュレートしてSFRC

C版の耐荷能力を評価するので、路床は1m厚さの関東ロームとし、路盤は厚さ30cmの粒調碎石(M-40)とした。表層はSFRCで $3 \times 3 \times 0.05$ mの大きさに路盤の上に打設した。SFRC版は合計4枚でその種別は表-1に示すようである。また路床および路盤の平板載荷試験結果は表-2に示すようであった。SFRC版への載荷は図-3に示すように、H鋼上に反力重りを載せて油圧ジャッキを介して圧力を調整した。

表-2 平板載荷試験結果

載荷位置	路床(令空前)	路床(令空後)	路盤
支持係数 (kg/cm ²)	2.5	9.0	15.1

S.F.R.C.版 のNo	1	2	3	4
鋼鉄筋量 (kg/m ²)	0	2.0	2.0	2.0
粗骨材 最大寸法 (mm)	10	10	10	25

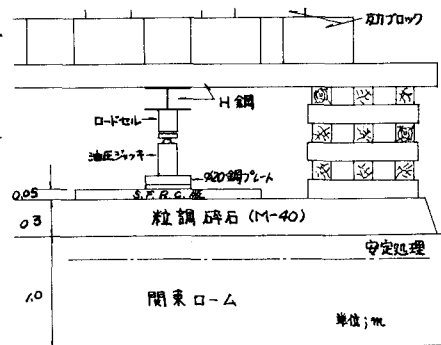


図-3 鋼筋構成と載荷方法

また板のひずみはストレインメータで測定した。さらに板のクラック形状はアセトンで拭きながら目視により観察した。

4. 実験結果と式の検証

2で述べた理論式中のものはSFRC版の沈下形状からボリューム、4枚のSFRC版の平均的荷重としてはほぼ90tが得られた。またCは図-1の半径方向の応力が0となる点で平均的にほぼ20cmである。さらにCは表面の円形クラックの発生位置で、目視による図-6と図-1から平均的にほぼ38cmとなった。これは当初路盤の平板載荷試験より得られると思われたが、実験の結果SFRC版の沈下が非常に大きく沈下量0.125cmの荷重強さを取る通常の試験では不合理である。従って、版の沈下と適用荷重のつり合いならびに版の沈下が大きくなったりの場合は主に路床に影響されると考えてねは1kg/cm²とした。抵抗モーメントM_bはSFRCの曲げ強度から求め表-3に示している。このようにして実験から得られた各々の値を(4式)に代入して μ_0 を求めると表-3に示すようであり、実測値と理論値の適合率は87~128%である。さらに載荷重の推定は図-7より中心点の沈下を推定して求めた。この結果も表-3に示しており、この場合の適合率は94~146%である。適合率の悪いものは硬質鋼鉄筋のもので、これは図-1でも解るように他と比較して大きな応力が発生しているからである。他のものは満足のいく精度のようである。

本報告で述べた破壊判定基準に立てば(4式)はSFRC版の耐荷能力を評価する上で有効であると思われる。しかし版の支持条件や載荷位置の差の影響ならびにくり返し荷重による影響などはまだ明確でなく、合理的な設計式に対するこれらは今後の課題である。

表-3 実測値と理論値の比較

S.F.R.C. 版 種 別	曲げ強度 (kg/cm ²)	平均抵抗 モーメント (kg/cm ²)	E カーブ (cm)		荷重 強さ (t)		理 論 値	実 測 値	適 合 率
			初期 (kg/cm ²)	最終 (kg/cm ²)	初期 (t)	最終 (t)			
NO 1	69.0~63.5 54.5	227	0.99	1.02	0.97	10.6	11.0	0.97	
NO 2	107.~143.9 125.2	522	2.27	1.78	1.28	24.9	17.0	1.46	
NO 3	77.7~98.6 90.1	375	1.64	1.88	0.87	19.9	20.0	1.00	
NO 4	65.0~101.1 82.6	344	1.50	1.55	0.97	18.7	20.0	0.94	

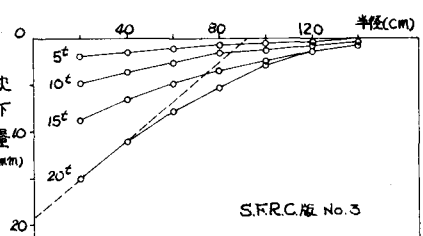


図-4 SFRC版の沈下変形

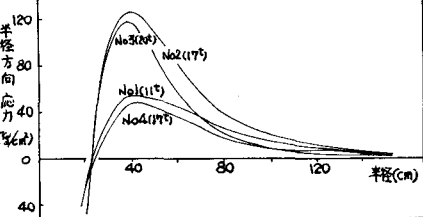


図-5 版の半径方向の応力

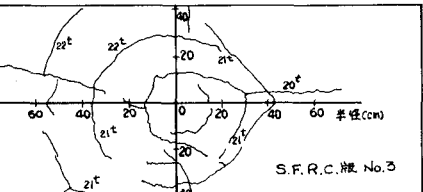


図-6 SFRC載荷部付近のクラック形状

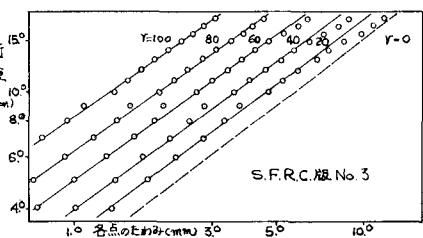


図-7 載荷重と版の各点の沈下